

光依存性脱窒汚泥によるアゾ染料の分解生成物の同定  
 Identification of byproducts on Azo-dye Degradation by  
 Photo-dependent denitrifying sludge

洪静蘭・大瀧雅寛

Jinglan Hong and Masahiro Otaki

(お茶の水女子大学・人間文化研究科・人間環境科学専攻)

### 1. はじめに

現在、染色排水には染料だけではなく、窒素分も高濃度で含まれており、その窒素も同時に除去することが求められている。光依存性脱窒汚泥(photo dependent denitrifying sludge: 以下 PDDS と略す)は、高い脱色速度を持つ紅色非硫黄細菌と脱窒活性汚泥とが安定して共生する活性汚泥であり、可視光照射条件下でアゾ系酸性染料の分解と脱窒を同時に行うことができるものである<sup>1,2)</sup>。また、実用化に向けて実際の染色排水により近い組成の模擬染色排水を処理対象排水とし、連続処理リアクターを構築した。この処理系で、脱窒処理の水素供与体としてメタノールを添加し、光照射条件下で PDDS を用いて脱窒ならびに染料分解を行なった。その結果、流入する窒素の 90%以上を脱窒処理できること、アゾ系酸性染料による着色も 50~60%の効率で除去できることが明らかとなった<sup>3)</sup>。しかし、PDDS による染料の分解経路がまだ解明していないため、本研究は PDDS に最も分解されやすいアゾ酸性染料 Acid Blue 92 (AB92)を取り上げ、その分解について検討した。

### 2. 実験材料と方法

#### 2.1 実験装置及び実験方法

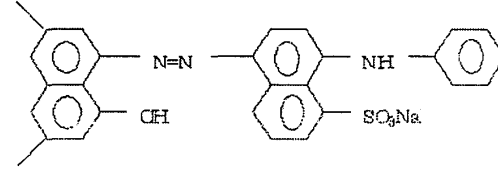
PDDS のリアクターは二重円筒管型石英リアクターで作製した<sup>4)</sup>。二重円筒管の内管部分の高さは 15cm、直径は 9cm、容量は 0.9L で、光源として、6W 蛍光ランプ(日立 FL6W-B)三本を使用した。冷却水は二重円筒管外筒の下部の注入口から外筒と内筒の間に流れ、上部の注出口から出るようにした。途中に冷却水槽とローラー式ポンプを取り付け、冷却水を循環させた。また採集した全てのサンプルは孔径 0.45 μm のセルロースアセテート製のフィルターで濾過してから、測定を行った。

PDDS による AB92 の分解スペクトルは分光光度計(U-100、日立)で測定した。また、中間物質の生成は、高速液体クロマトグラフィー(High Performance Liquid Chromatography: HPLC)で測定した。

#### 2.2 対象物質

PDDS 汚泥の分解対象染料として Acid Blue 92 (C. I. 13390、東京化成工業、測定吸光波長: 560nm、以下 AB92 と略す)を用いた。この構造式を図-1 に示す。この AB92 を脱窒培地に添加して供試試料とした<sup>5)</sup>。

NaO<sub>3</sub>S



NaO<sub>3</sub>S

図-1 AB92 の構造

### 3. 実験結果ならびに考察

PDDS による AB92 の分解実験を行い、図-2 に示す結果は得た。PDDS 処理開始 4 時間後に、AB92 に基づく吸光度を約 87% 低減させることができた。また、AB92 分解反応処理液の紫外可見スペクトルの変化を図-3 に示した。PDDS による AB92 の分解反応の経過に伴い 560nm と 280nm のピークが減少し、新たに 360nm にピークを有する代謝物が生成することが分かった。

これまでに、多くの研究者によってアゾ染料の微生物分解に関する研究が進められてきた。M.Nakaoka ら<sup>6)</sup>は、加古川市の染色排水流入水路の土壤サンプルを植種源とし、メチルレッドを含むペプトン(1%)、酵母エキス(0.5%)

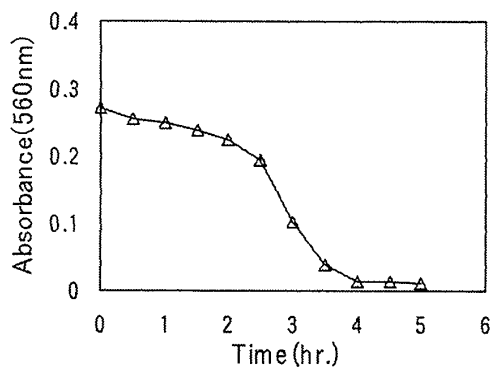


図-2 AB92 の脱色経過 (MLSS=3000mg/l, FL=3000lux, UV=0.5-0.8 mw/cm<sup>2</sup>)

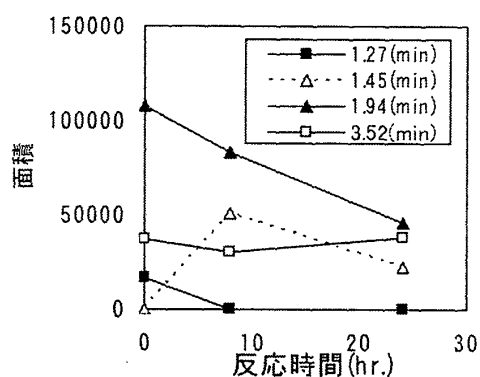


図-5 PDDS による AB92 の分解

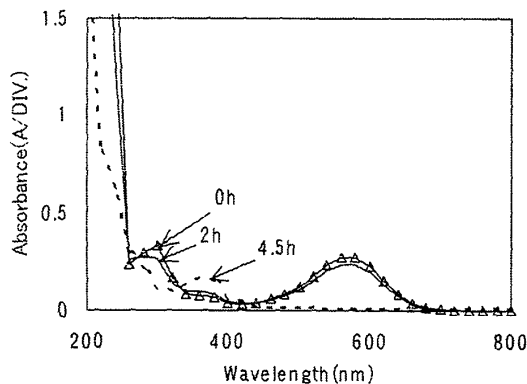


図-3 PDDS による AB92 分解処理液の吸光スペクトル (MLSS=3500mg/l, FL=3000lux, UV=0.5-0.8 mw/cm<sup>2</sup>)

を主成分とする培地を用いてメチルレッドを好気的に分解できる *Enterobacter* 属の細菌を分離した。この分離菌を集菌し、メチルレッドの分解実験を行った結果は、425nm のピークが減少し、新たに 240-245nm にピークを有する代謝物が生成することが分かった。また、TCL と HPLC 分析より、生成される代謝物がアントラニル酸と N,N-ジメチル-p-フェニレンジアミンであると同定し、分離株によるメチルレッドの分解経路を図-4 のように提案している。

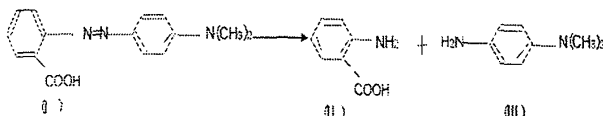


図-4 Methyl Red の分解経路 (I) Methyl Red, (II) Anthranilic acid (III) N,N-Dimethyl-p-phenylenediamine

そこで、HPLC を用い、PDDS による AB92 の分解経路について検討した。図-5 には HPLC 分析より、PDDS による AB92 の分解結果を示す。各データは、クロマトグラムに現れるピークの retention time である。この結果から 1.94min に現れるピークの面積値が減少し、新たに 1.45min に現れるピークを有する代謝物が生成することが分かった。この物質の同定は今後の課題である。

#### 参考文献

- 古川憲治、黒木征一朗、中岡元信：光依存性脱窒条件下的染料の微生物分解、用水と廃水 Vol. 40, No. 9, pp. 775-78 (1998)
- Kuroki, S., Furukawa, K., Yoshiyama, M.: Biodegradation of acid azo dyes by newly isolated purple nonsulfur bacteria, Japanese Journal of Water Treatment Biology Vol. 37 No. 2, pp. 69-75, 2001.
- Hong, J., Otaki, M., Joseph D. Rouse, Furukawa, K.: Continuous Treatment of Azo Acid Dyes by Photo-Dependent Denitrifying Sludge, Journal of Environmental Sciences p. 296-302 Vol. 14 No. 3, 2002
- 洪静蘭、大瀧雅寛：薄膜固定光触媒を利用した脱窒菌共存光合成細菌による脱色リアクターの高効率化、土木学会論文集, p.111-118, NO.734, 2003-05
- M. Nakao, S. Tamura, M. Takeo and Y. Maeda: Biodegradation of Methyl red and Identification of its Metabolites, Chem. Express, 8, 641 (1993)